

# DIRAC ligningen for frie elektroner og positroner

$$i\hbar \frac{\partial \Psi}{\partial t} = -i\hbar c \sum_{i=1}^3 \alpha_i \frac{\partial \Psi}{\partial x_i} + \beta mc^2 \Psi$$

$$\Psi_i(x, t) = u_i e^{i(px-Et)/\hbar}$$



partikkel

$$\Psi_i(x, t) = v_i e^{-i(px-Et)/\hbar}$$



antipartikkel som beveger seg framover i tid

Fire komponenter i bølgefunksjonen:

To med positiv energi ( $u_i$ ), to med negativ energi ( $v_i$ )

Eller så kan energien være positiv, men da skifter man fortegn på tiden...

Antipartikler!

# Dirac-elektronet vekselvirker med Coulombpotensialet

$$V(r) = \frac{1}{4\pi\epsilon_0} \frac{e^2}{r} = \hbar c \frac{\alpha}{r}$$

$$\alpha = \frac{e^2}{4\pi\epsilon_0\hbar c} \approx \frac{1}{137}$$

-1

$\alpha$  kalles den elektromagnetiske koblingskonstanten

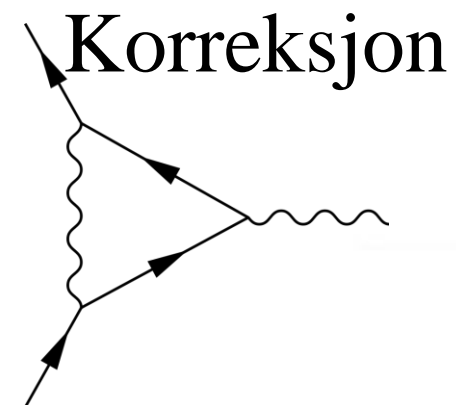
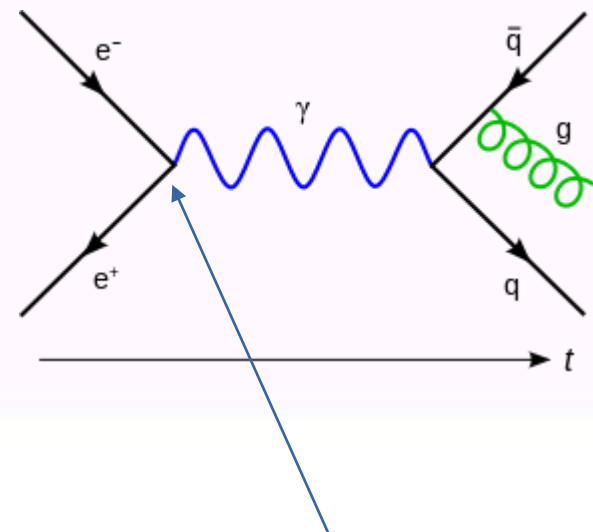
# Kvantefelt-teori

- Gir små korrektsjoner til elektromagnetismen, som er eksperimentelt etterprøvet med stor presisjon
- Kreftene beskrives gjennom utveksling av bosoner, (f.eks. fotoner) som skapes og annihileres
- Fermioner skapes bare parvis (partikkel-antipartikkel)



Feynmandiagrammene  
representerer en  
rekkeutvikling av  
*vekselvirkingen* i potenser  
av  $\alpha$

Man teller opp antall  
knotepunkter i  
diagrammene for finne  
diagrammets orden i  $\alpha$



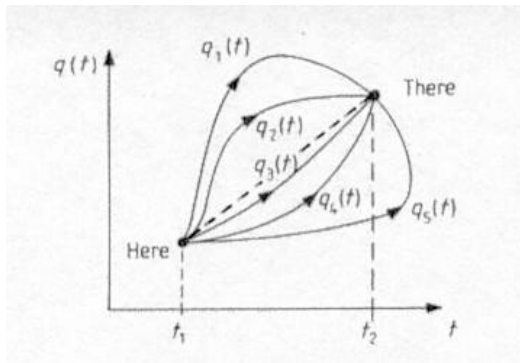
# Fields

1934 - 1948



R. P. Feynman

All paths are possible  
('multiple slit experiment')



## Quantum Electrodynamics

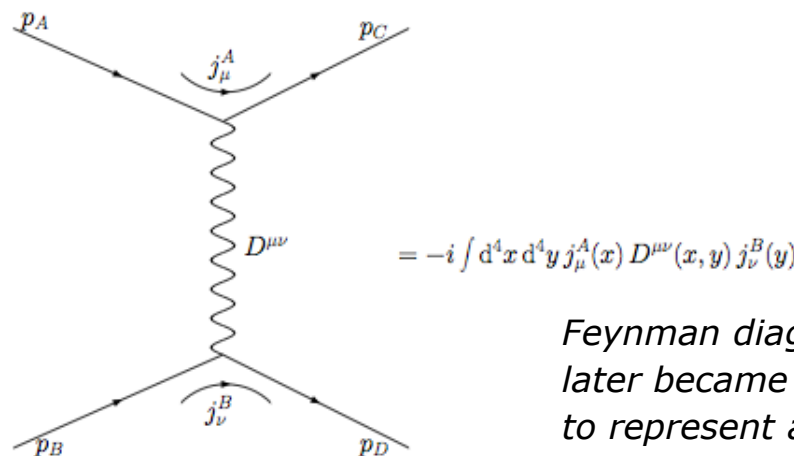
Feynman, Tomonaga, Schwinger

### "Renormalization"

The 'naked' electron + vacuum fluctuations = measured electron  
("infinite" - "infinite" = "finite")

### Feynman diagrams

Precise computation rules - in graphical form



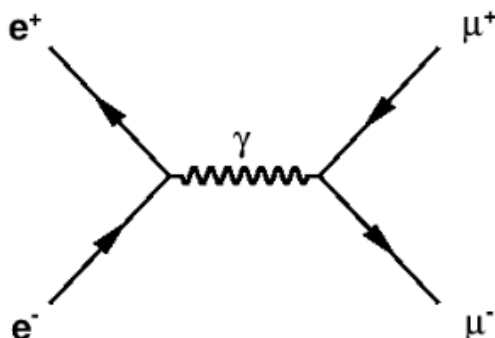
*Feynman diagrams  
later became a graphical way  
to represent all kinds of  
particle interactions*

# Hva betyr disse diagrammene?

De skal beskrive vekselvirkinger mellom partikler (f.eks.) i kollisjon

- Diagrammene uttrykker tidsutviklingen av bølgefunksjonene til partikler som kolliderer
- Beskriver det(de) første leddet (leddene) i en *perturbasjonsteori* om prosessen
- Bevaringslover:
  - Leptontall,baryontall,ladning...
- Vekselvirkning  $\longleftrightarrow$  Ladning
- Noen partikler kan skapes og forsvinne
  - Fotoner, gluoner
- Noen partikler skapes bare i (fermion-antifermion) par.





## Feynmandiagram

Linja med pil som går inn verteks og ut igjen representerer en *strøm*:

$$j^\mu = \bar{\psi} \gamma^\mu \psi$$

Vi ser at hver komponent av  $j^\mu$  er et tall som framkommer etter en matrisemultiplikasjon.  $j^\mu$  er en relativistisk 4-vektor. Når pila peker mot tiden, så brukes antipartikkelløsningene.

Feynmandiagrammet representerer to strømmer som vekselvirker gjennom en propagator (et boson) med masse  $m_X$ . Denne propagatoren skrives

$$\frac{-ig_{\mu\nu}}{q^2 - m_X^2}$$

$q$  er overført impuls. Styrken av vekselvirkningen er gitt ved ladningen, som multipliseres med hver strøm. Diagrammet i figur 4 svarer til

$$-iM = [\bar{v}(p_2)ie\gamma^\mu u(p_1)] \frac{-ig_{\mu\nu}}{q^2} [\bar{u}(p_3)ie\gamma^\nu v(p_4)]$$

# Feynmandiagram for de enkleste prosessene:

Litt for enkelt, for det må to ladninger til for å lage  
vekselvirkning

Ladning representeres som konstanter i  
møtepunktene (vertex-faktorer)

Verdi:  $1/137$  (finstrukturkonstanten) for fotonutveksling

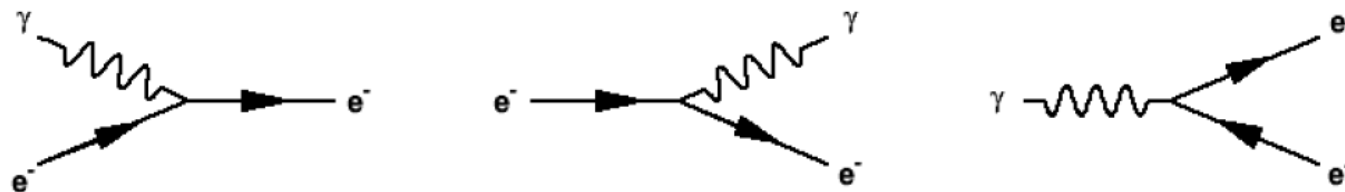


Figure 1: Feynman-diagram a) Fotoabsorbsjon, b) Bremsestråling, c) Parproduksjon.  
**Tiden løper fra venstre mot høyre.** Linjene sier ingen ting om bevegelsesmengder og  
retninger, men energi og impulsbevaring må være oppfylt. Vi skal se at dette nødvendigjør  
konseptet med *virtuelle* partikler

# Feynmandiagram for $e^+e^-$ -kollisjoner

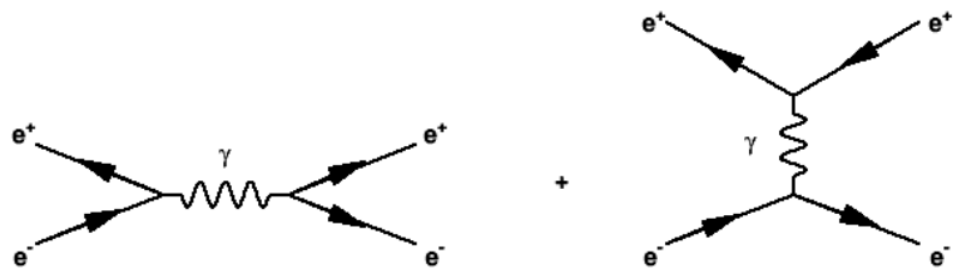


Figure 3: Feynman-diagram som bidrar til elastisk spredning mellom et elektron og et positron. a) Annihilasjon b) Fotonutveksling. For å finne virkningstverrsnitt for reaksjonen må man addere amplitudene og kvadrere resultatet.

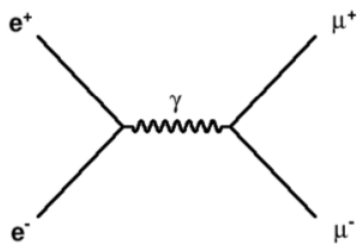


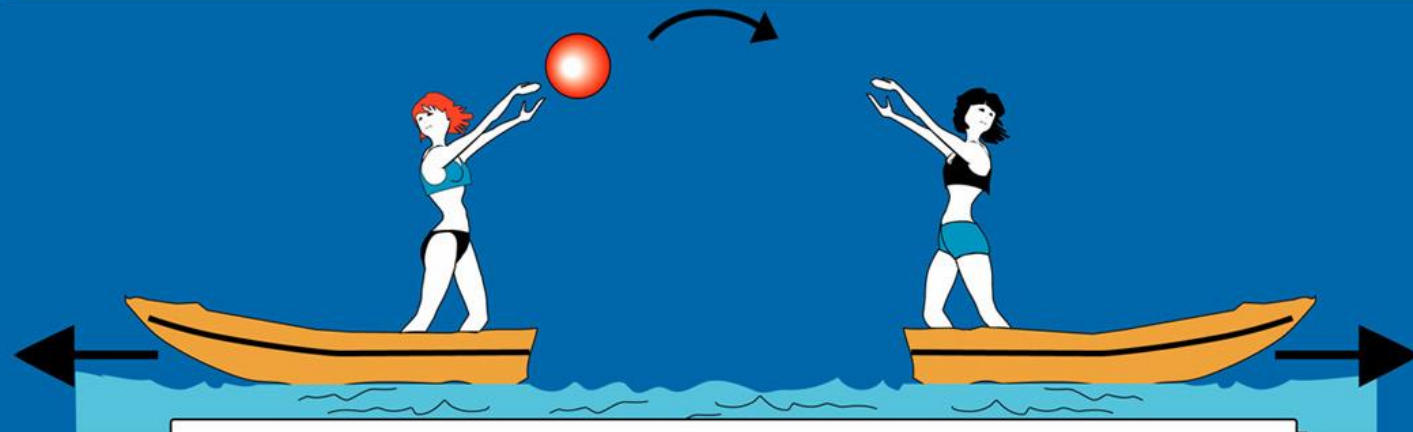
Figure 4: Feynman-diagram for produksjon av et par myoner gjennom elektron-positron annihilasjon. Alle partikler med elektrisk ladning og spinn=1/2 kan produseres i par på denne måten, bare det er nok energi i annihilasjonen.



# The forces in Nature

Elektro-  
svak  
Kraft

TYPE	INTENSITY OF FORCES ( DECREASING ORDER )	BINDING PARTICLE ( FIELD QUANTUM )	OCCURS IN :
STRONG NUCLEAR FORCE	~ 1	GLUONS ( NO MASS )	ATOMIC NUCLEUS
ELECTRO -MAGNETIC FORCE	~ $10^{-3}$	PHOTONS ( NO MASS )	ATOMIC SHELL ELECTROTECHNIQUE
WEAK NUCLEAR FORCE	~ $10^{-5}$	BOSONS $Z^0$ , $W^+$ , $W^-$ ( HEAVY )	RADIOACTIVE BETA DESINTEGRATION
GRAVITATION	~ $10^{-38}$	GRAVITONS ( ? )	HEAVENLY BODIES



THE EXCHANGE OF PARTICLES IS RESPONSIBLE FOR THE FORCE

Elektronets magnetiske moment  
bereges og med disse diagrammene

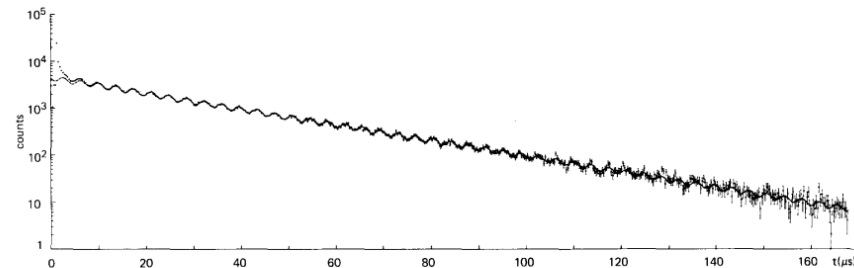
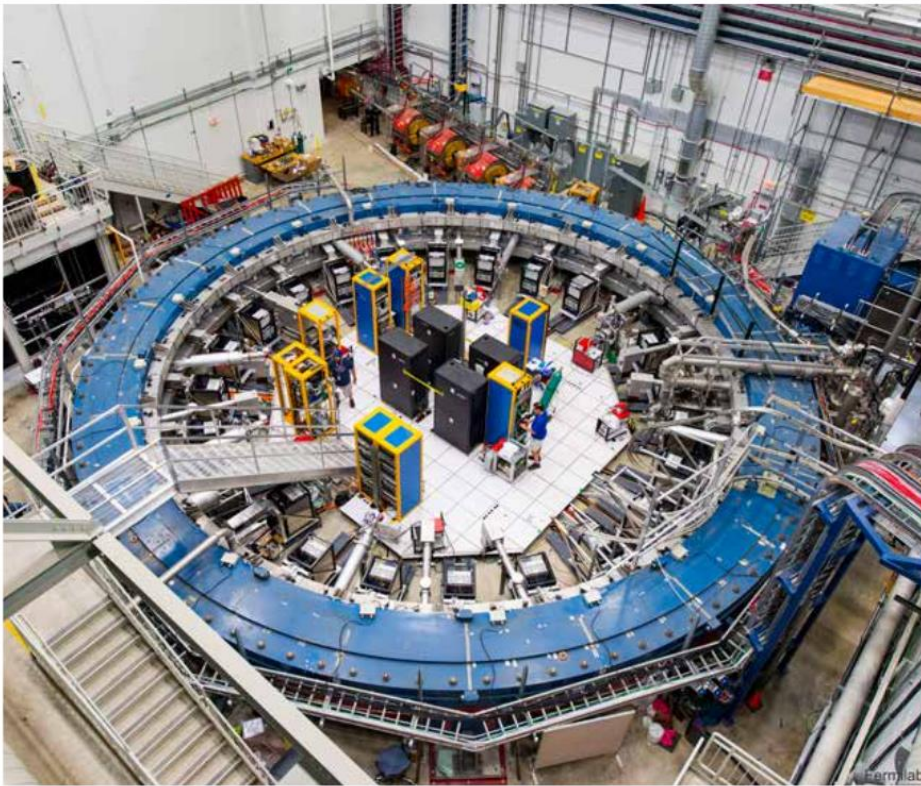
$$-g \frac{e}{2m_e}$$

Dirac-ligning:  $g=2$

QED: Teori  $g = 2(1 + 0,0011596521816)$

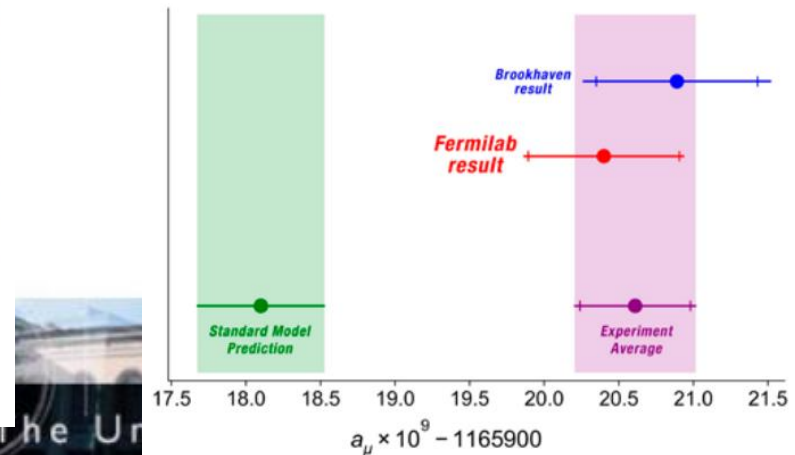
Eksperiment  $g = 2(1 + 0,0011596521807)$

# Myonets magnetiske moment? Presisjonsmålinger ved CERN på 1960 tallet



Figur 2. Tellrate til henfalls-elektroner modulert med (g-2)-frekvensen, som observert i et av CERNs myoneksperimenter.  
(Grafikk: fra referanse [3])

Nye målinger i USA  
Avvik fra teori  
Hva betyr det?



Ny måling av myonets anomale  
magnetiske moment

# Vekselvirkningspartikler kan være *virtuelle* og eksistere på lånt tid

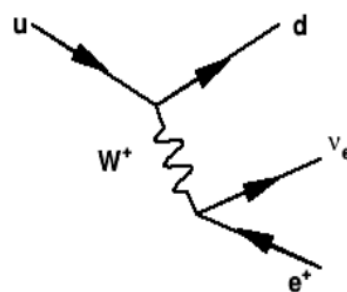
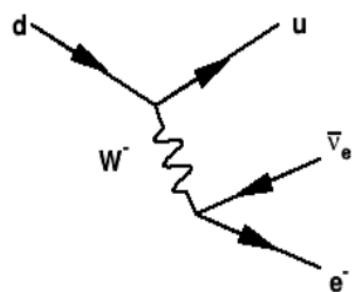


Figure 10: Feynman-diagram av: a)  $\beta^-$  henfall b)  $\beta^+$  henfall

Beta-henfall: Den svake  
koblingskonstanten,  $g$  er i  
vertex. Hva er verdien av den??

# “Universell” koblingskonstant, $g$

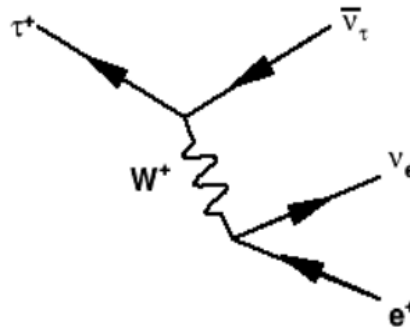
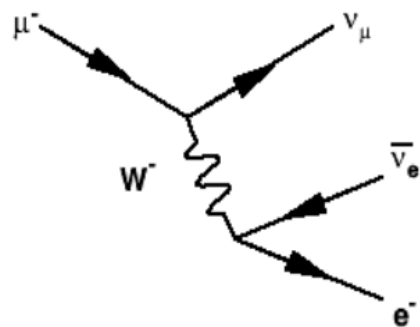


Figure 9: Feynman-diagram av: a)  $\mu^-$  henfall b)  $\tau^+$  henfall. Verteksfaktorene er her ikke  $\sqrt{\alpha}$ , men den svake koblingskonstanten  $g_W$ .

Det er bare *forskjellig masse* som gir forskjellig levetid på myonet og tauonet

# Fields

'Strong' interaction

Back to the strong force: keeping protons and neutrons together

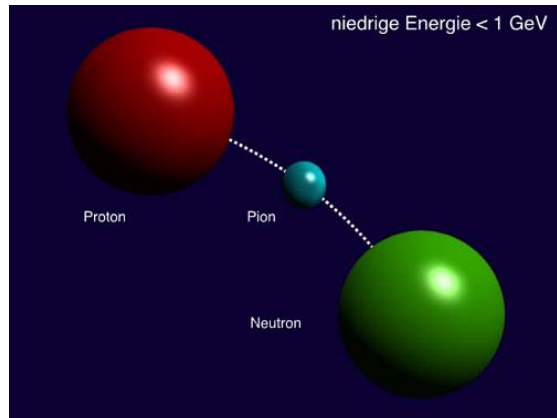


Exchange of massive particle  
**Pion**

$$V(r) = -g^2 \frac{e^{-mr}}{r}$$

Modified Coulomb law

Yukawa (1934)



Allowed by uncertainty relation:  $14 \text{ fm} \cdot 3 \text{ MeV}$



# Potensialene

- Enklere å uttrykke seg v.h.a. energibevaring, enn å bruke kompliserte kraftvektorer
- Potensial: virkningen av en kraftkilde på en standardisert probe (enhetsladning)
- QM: sier potensial, *mener gjerne potensiell energi*

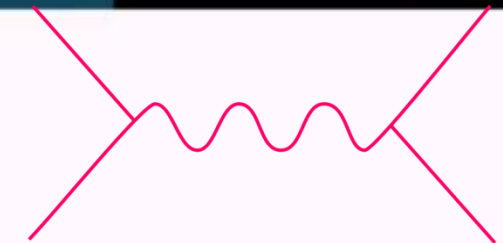
# De fire kraftpotensialene

$$V_G = -G \frac{Mm}{r}$$

$$V_C = -\alpha \frac{1}{r}$$

$$V_w = -g^2 \frac{1}{r} e^{-m_w r / (\hbar c)}$$

$$V_s = -\alpha_s \frac{4}{3} \frac{1}{r} + kr$$



Newton s gravitasjon  
(+korrekjoner p.g.a. Einstein)

Coulombkraften

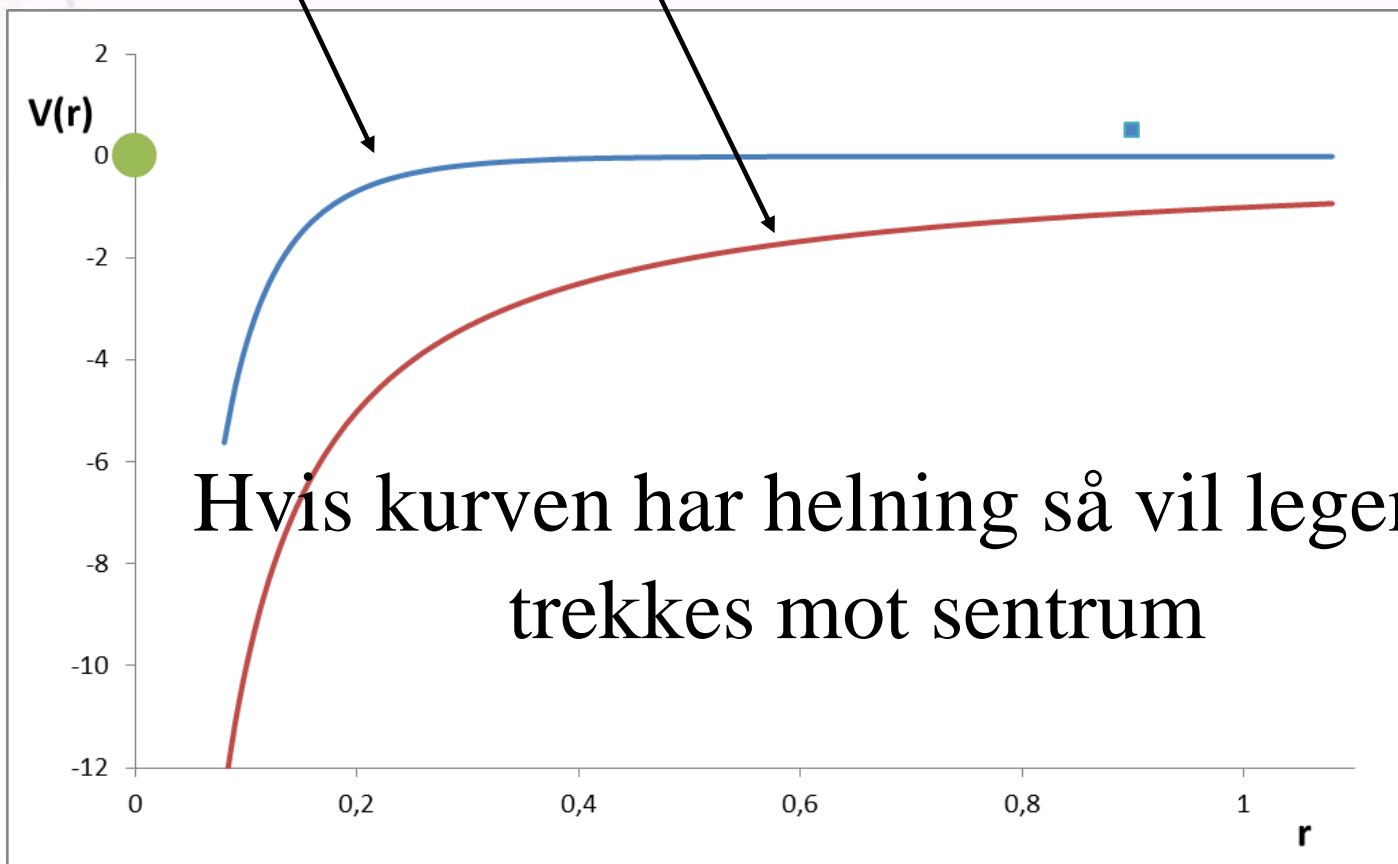
Svak kjernekraft

Sterk kraft (mellom kvarker).  
Nb: øker med avstand. Ikke  
mulig med enkle diagrammer

Hvilke sammenhenger finnes?

$$V(r) = -g^2 \frac{e^{-mr}}{r}$$

# Yukawa og Coulomb potensialer

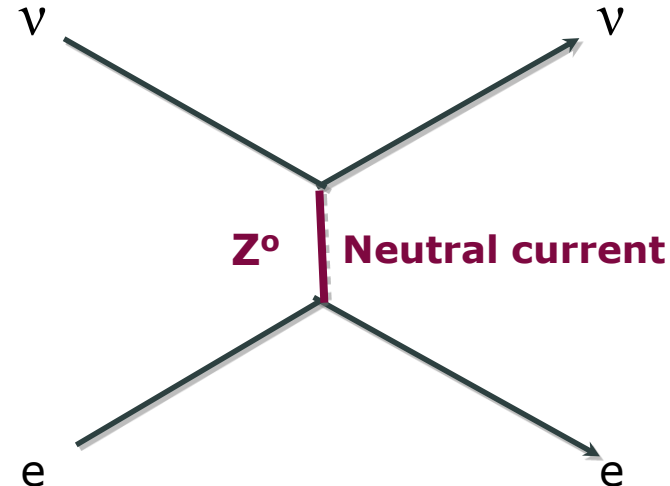
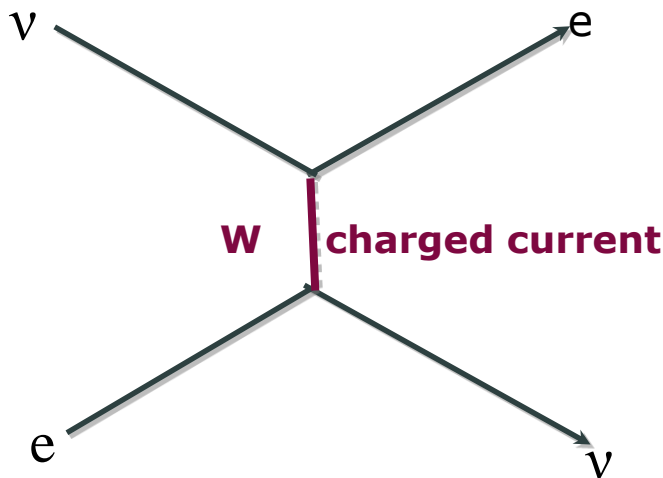


# Mot Standardmodellen

At the end of the 1950s V-A theory was the "standard model" of weak interactions. Its major drawback was its bad high-energy behaviour, which prompted various ideas to cure the problem of infinities. Guided by quantum electrodynamics, a gauge theory, attempts were made to construct a gauge theory of weak interactions, and in the mid-1960s the hypothesized charged intermediate vector boson ( $W^\pm$ ) was complemented with a neutral partner to achieve the required cancellations. **The invention of the Higgs mechanism solved the problem of having both a gauge theory and massive mediators of weak interactions. The progress made by Sheldon Glashow, Abdus Salam and Steven Weinberg was completed by the work of Martinus Veltman and Gerard 't Hooft**, which proved the renormalizability of the theory. So, as 1971 turned to 1972, a viable theory of weak interactions that claimed weak neutral currents as a crucial ingredient was proposed, challenging the experimental groups to provide "yes" or "no" as an answer to the question "do neutral currents exist?".

Sitat: CERN Courier 4 oktober 2004

= eksistens av  
Z-bosonet



### Glashow, Salam, Weinberg (1968) - Electroweak Force

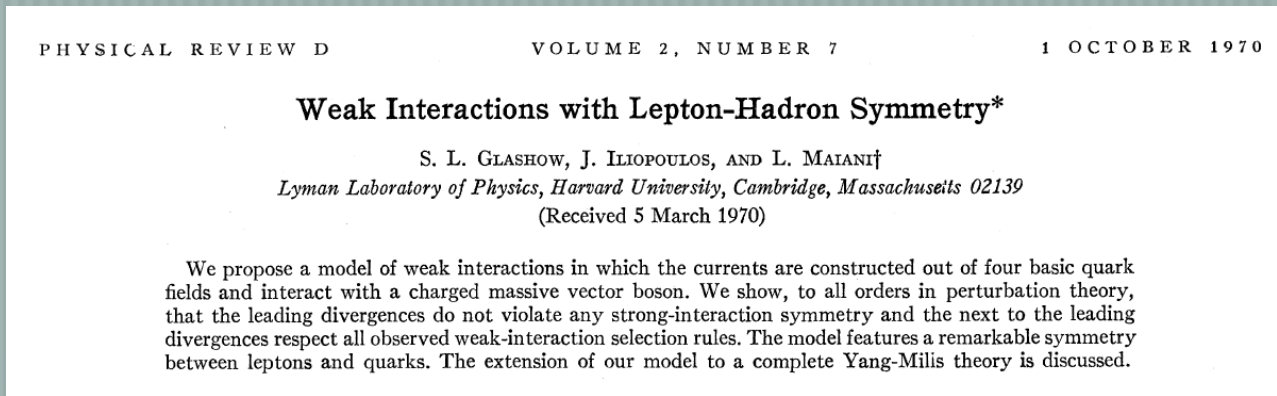
- The electromagnetic and weak interaction are different aspects of the same 'electroweak' force
- All quarks and leptons have a 'weak' charge
- There should be a 'heavy photon' ( $Z^0$ ) and two charged vector boson ( $W^\pm$ ) of mass  $\sim 50\text{-}100$  GeV
- They acquire their mass by the interaction with the (new) "Higgs field" H.
- There are only 'left-handed' interactions

# Electro-weak Interaction

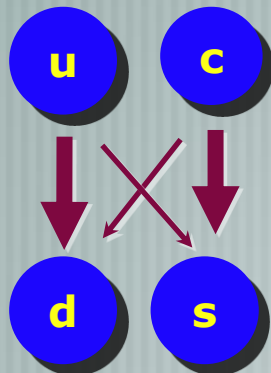
# Fields

1970

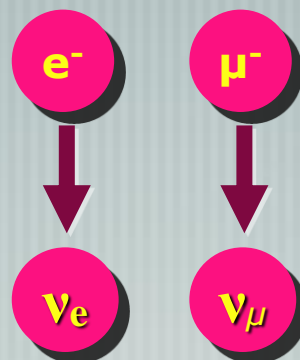
Milestone paper (Glashow, Iliopoulos, Maiani)



Quarks



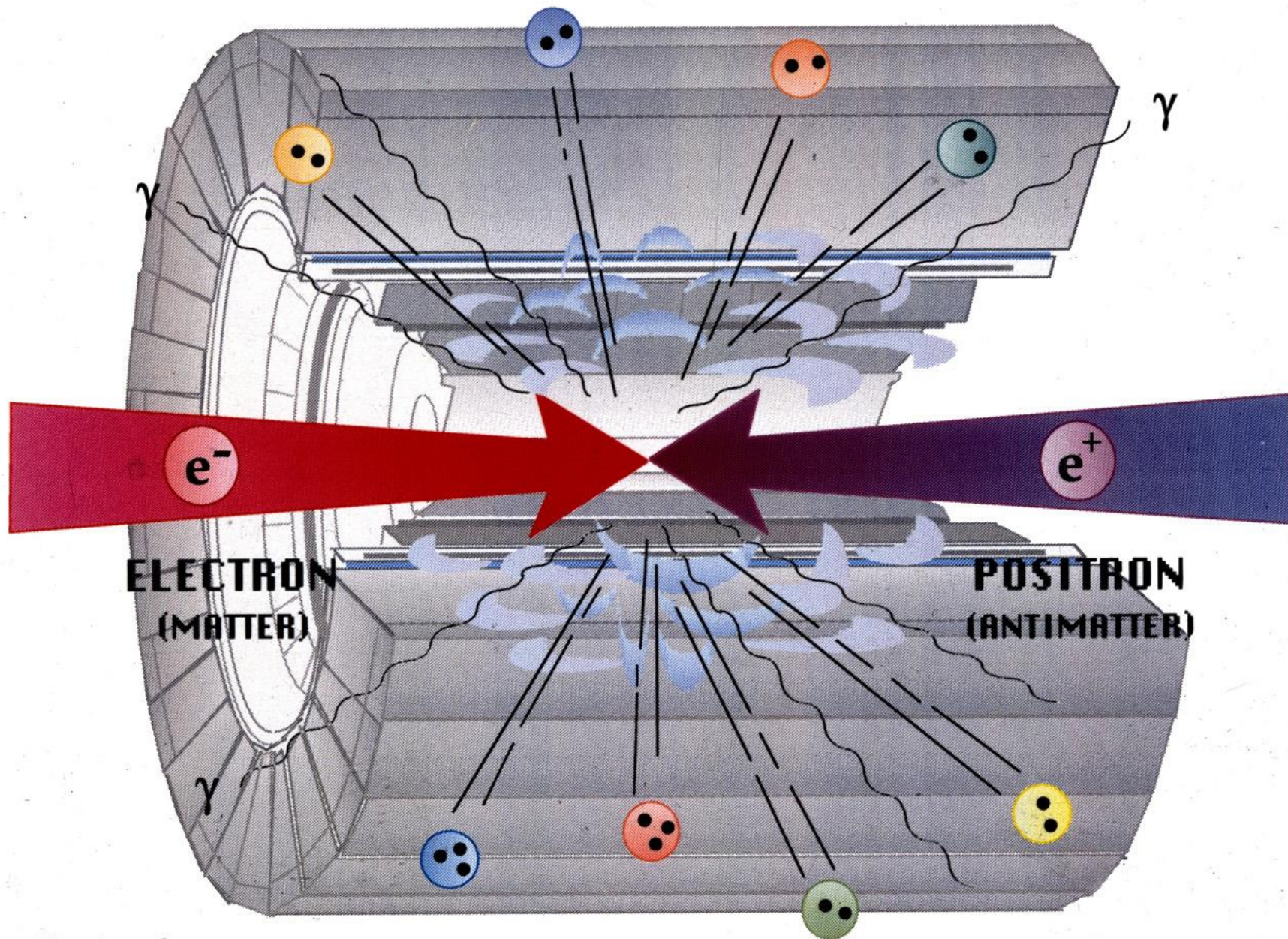
Leptons



*This was now called  
the 'Standard Model'  
(with two families)*

# Elektron-positron kollisjoner

Mange maskiner: USA, Japan, Tyskland  
Sovjetunionen, og til slutt også ved CERN



# Partiklers levetid

## Heisenbergs usikkerhetsrelasjon

$$\Gamma_T = \Delta E \Delta t \geq \hbar$$

### Partikkkelvidde

Er en sum av *delvidder* som gir sannsynlighet til henfall til forskjellige slutt-tilstander

$$\Gamma_{tot} = \sum_i \Gamma_i$$

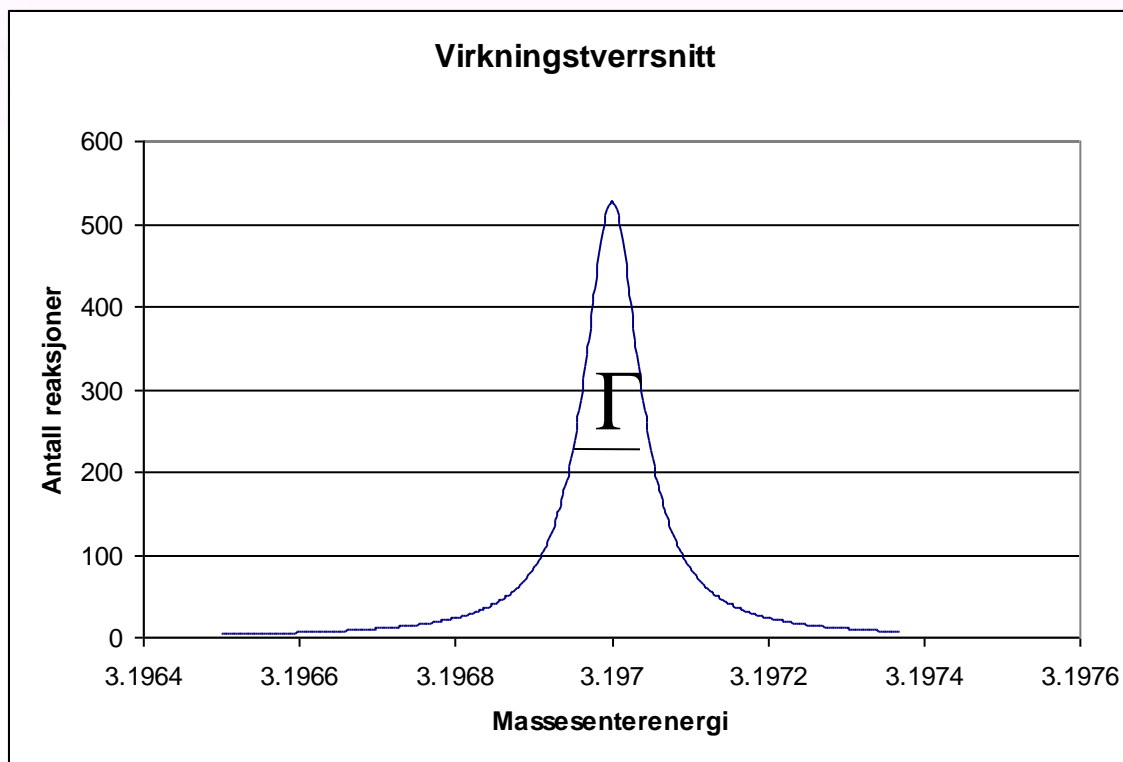
Veldig kort levetid blir til en spredning i massen til partikkelen



# Resonans

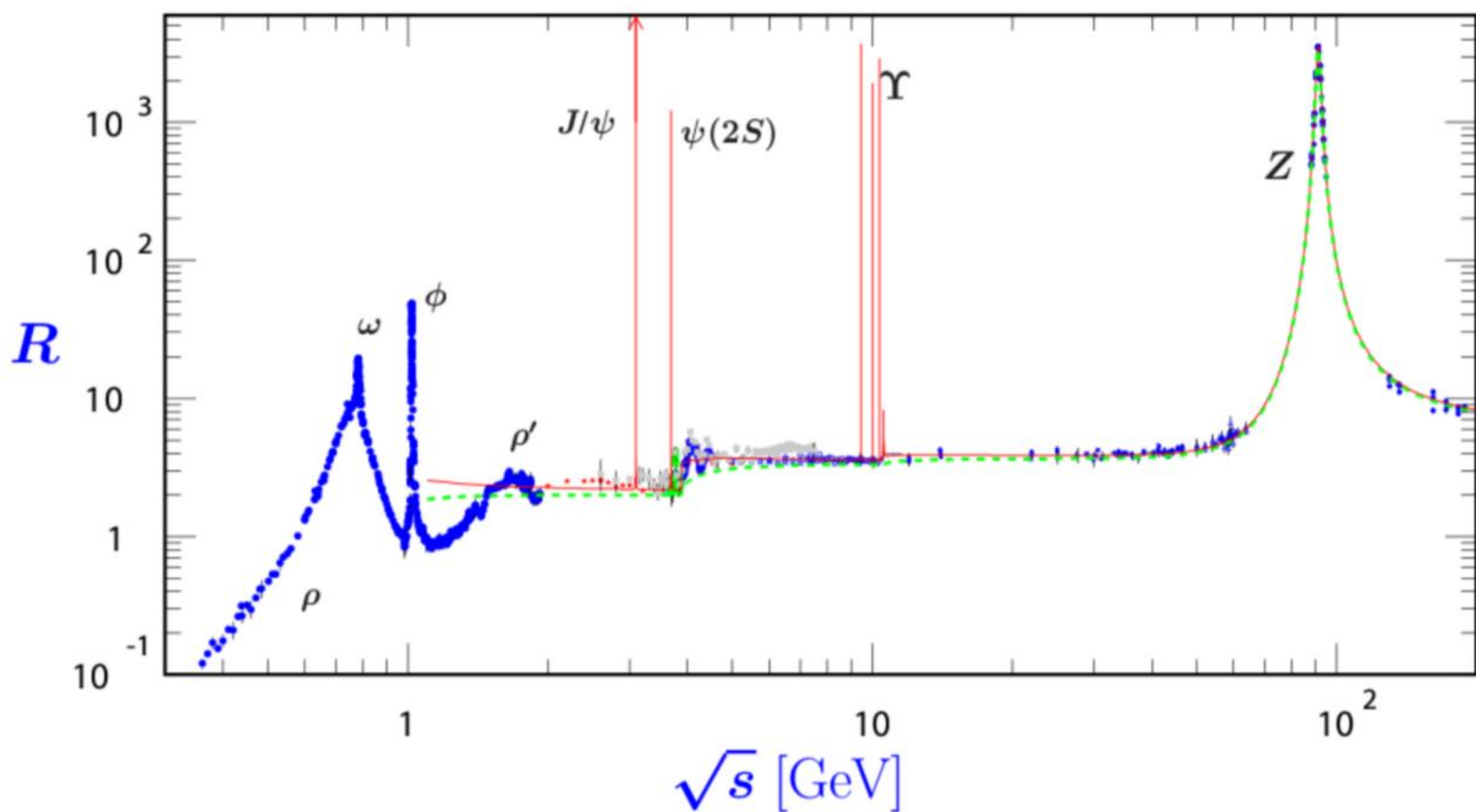
$e^+ e^- \rightarrow (\text{kvarker}) \rightarrow \text{hadroner}$

$m$



Svært smale og skarpe resonanser i virkningstverrsnittet, på grunn av nye kvarker

$$R = \frac{\sigma(e^+e^- \rightarrow \text{hadroner})}{\sigma(e^+e^- \rightarrow \mu^+\mu^-)}$$



# PARTICLE SPECTRUM

1974

And the charm quark was to be discovered soon afterwards :

The NOVEMBER REVOLUTION (11 November 1974)

Two groups discovered ~ simultaneously a new particle, which they called '**Psi**' at SLAC (Burt Richter) and '**J**' at Brookhaven (Sam Ting).

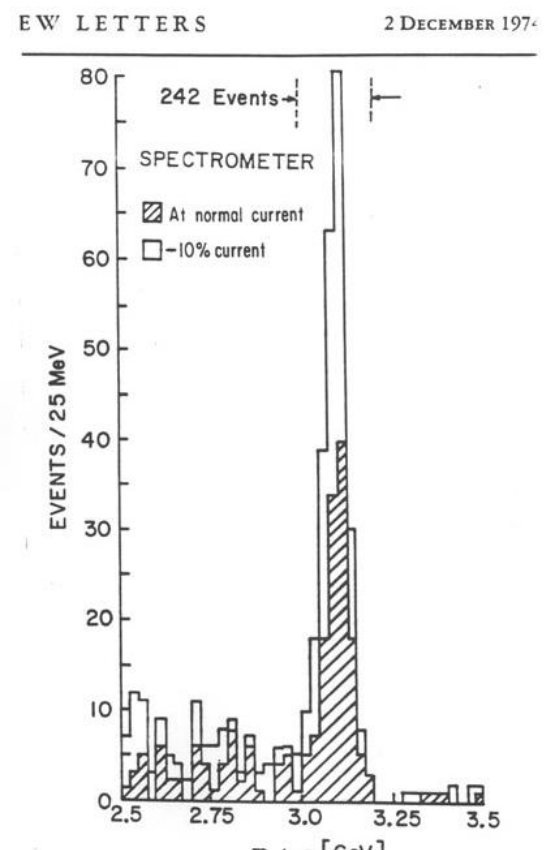
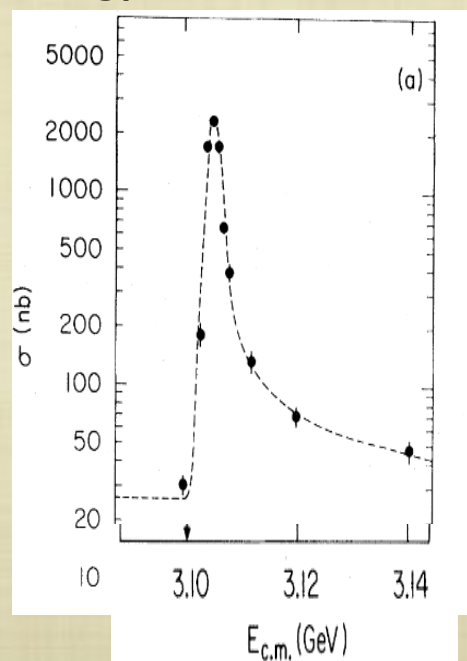
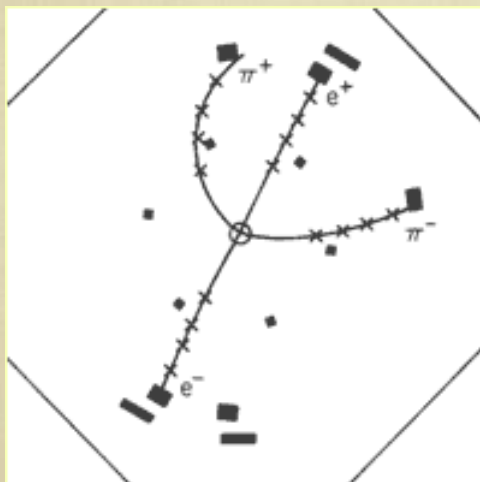


FIG. 2. Mass spectrum showing the existence of  $J/\psi$ . Results from two spectrometer settings are plotted showing that the peak is independent of spectrometer currents. The run at reduced current was taken two months later than the normal run.

The  $J/\psi$  resonance was 'long-lived' ( $\sim 10^{-20}$  sec). It could only decay by weak interactions, preferably into an s-quark. This explains the narrow peak.

Ikke  $(u,d,s)$

*Men*

$$\begin{pmatrix} u \\ d' \end{pmatrix} ; \quad \begin{pmatrix} c \\ s' \end{pmatrix} ?$$

Flere resonanser

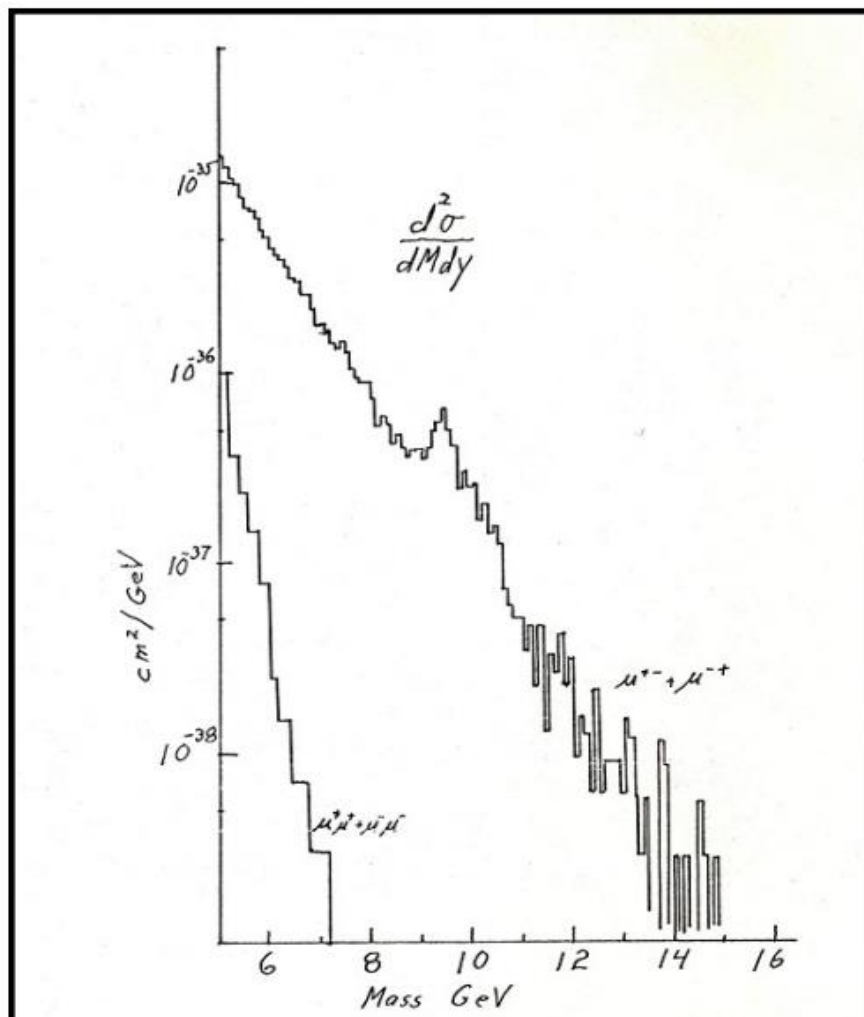
*b-kvarker* oppdaget i 1977  
en *femte* kvark

Senere: upsilon-resonanser

GWS: Da må det være slik

$$\begin{pmatrix} u \\ d' \end{pmatrix} ; \quad \begin{pmatrix} c \\ s' \end{pmatrix} ; \quad \begin{pmatrix} t \\ b' \end{pmatrix}$$

# Fermilab: Produksjon av $\mu^+ \mu^-$ par i proton kollisjoner på tungt target



# Og helst et lepton til

$$\begin{pmatrix} \nu_e \\ e^- \end{pmatrix} ; \quad \begin{pmatrix} \nu_\mu \\ \mu^- \end{pmatrix} ; \quad \begin{pmatrix} \nu_\tau \\ \tau^- \end{pmatrix}$$

Tau-leptonet ble også funnet i elektron-positron kollisjoner i 1977

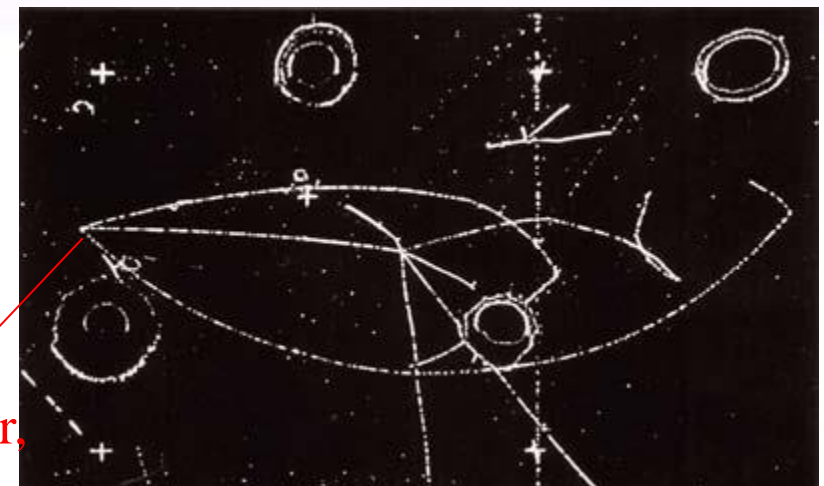
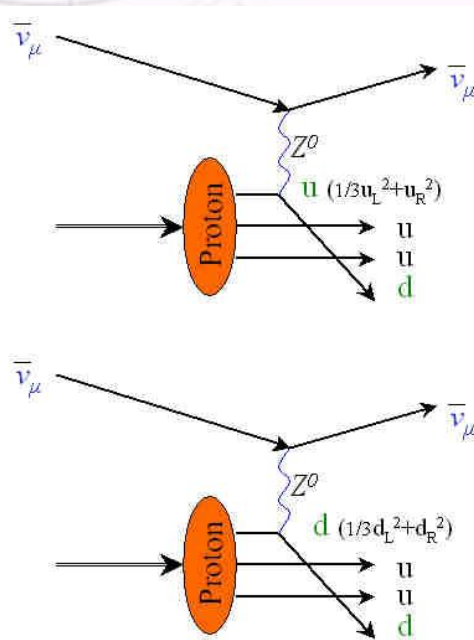
Glashow-Weinberg-Salam modell (1967):  
Higgsmekanisme tas med i svake vekselvirkninger  
**Dubleller av kvarker og leptoner**  
**En *kvante-felt-teori*, slik som QED**  
**Vekselvirkningspartikler med kort  
rekkevidde og høy masse:**  
**Forutsier  $W$  og  $Z$ -bosoner**

***Trenger et Higgs-felt  
Elektrosvak teori***



# Indirekte påvisning av $Z^0$ -bosonet

Svak nøytral strøm  
funnet i boblekammeret  
"Gargamelle"



Cerns største triumf på 1970 tallet

# Kan alt beskrives med samme teori?

## Hva betyr ”samme teori”?

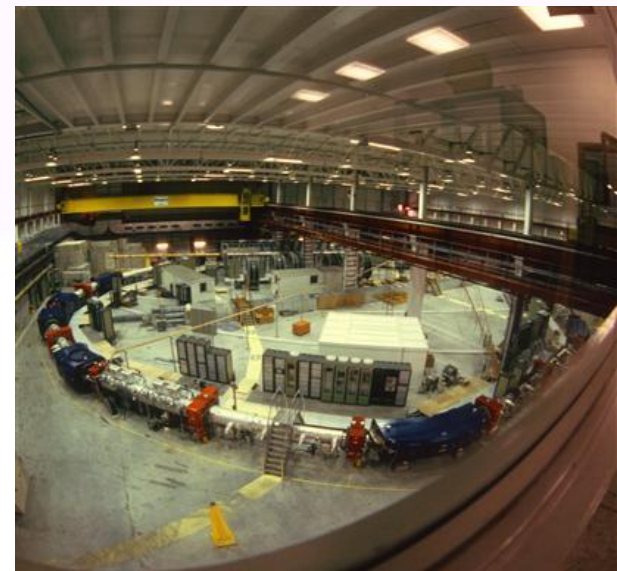
- Må ha en relasjon mellom ladningene i de forskjellige kreftene.
- Elektrosvak teori

$$g \sin \theta_W = e$$

*g er svak ladning  
e er elektrisk ladning  
ofte brukes  $\alpha = e^2 / (2\epsilon_0 hc)$   
istedenfor ladning*

# Hvor er W og Z bosonene?

CERN kommer sterkt tilbake:  
Antiproton-proton kollisjoner  
i CERNs SPS gir nok energi  
til at disse tunge bosonene kan  
skapes.



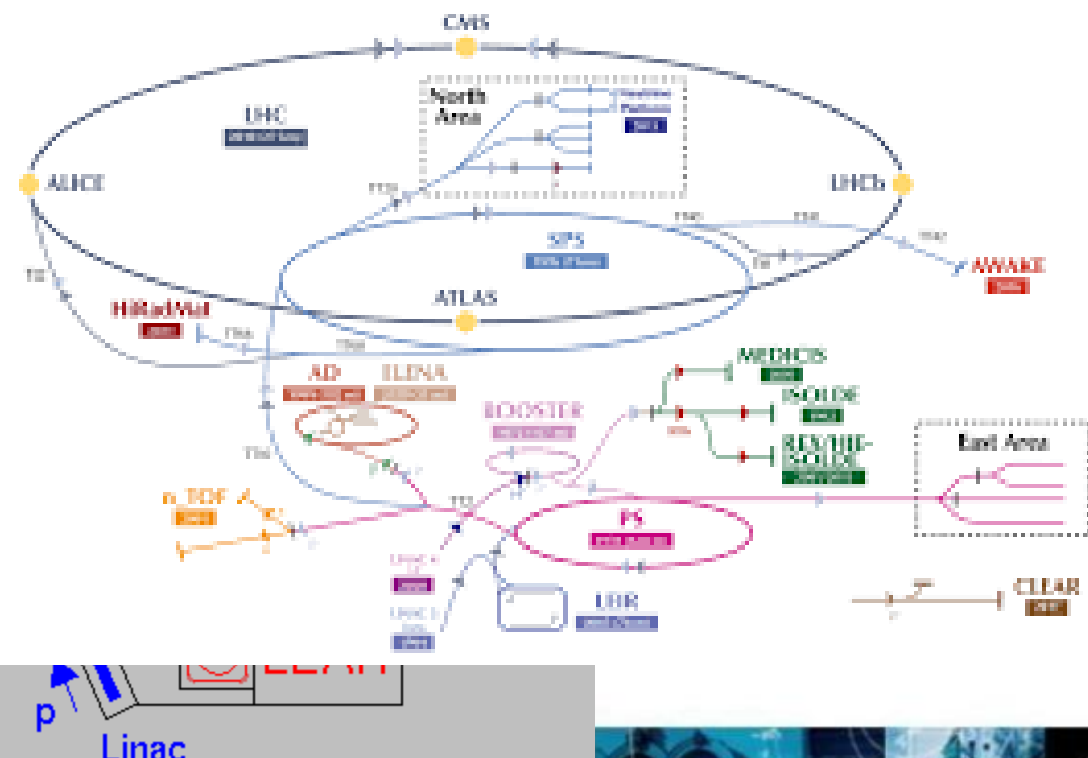
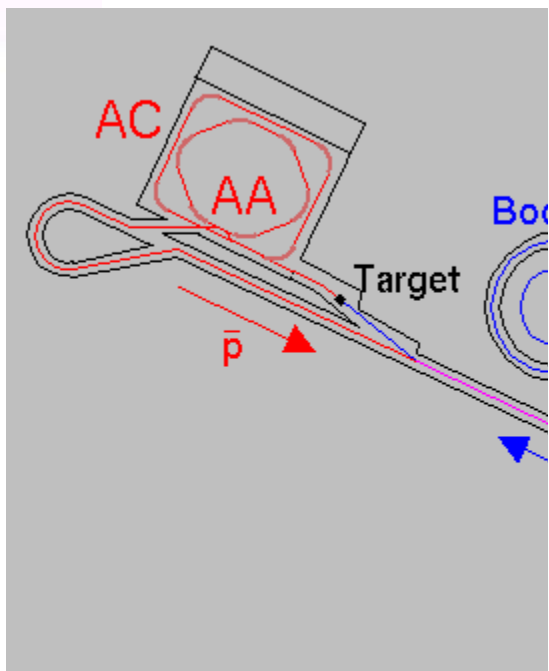
Antiproton Accumulator

Bosonene ble funnet i 1983

En teknologisk ‘*tour de force*’



Først må man lage antiprotoner  
Så ble SpS redesignet slik at den kunne ta imot antiprotonene  
og akselerere dem i samme rør som protonene, men motsatt  
vei.



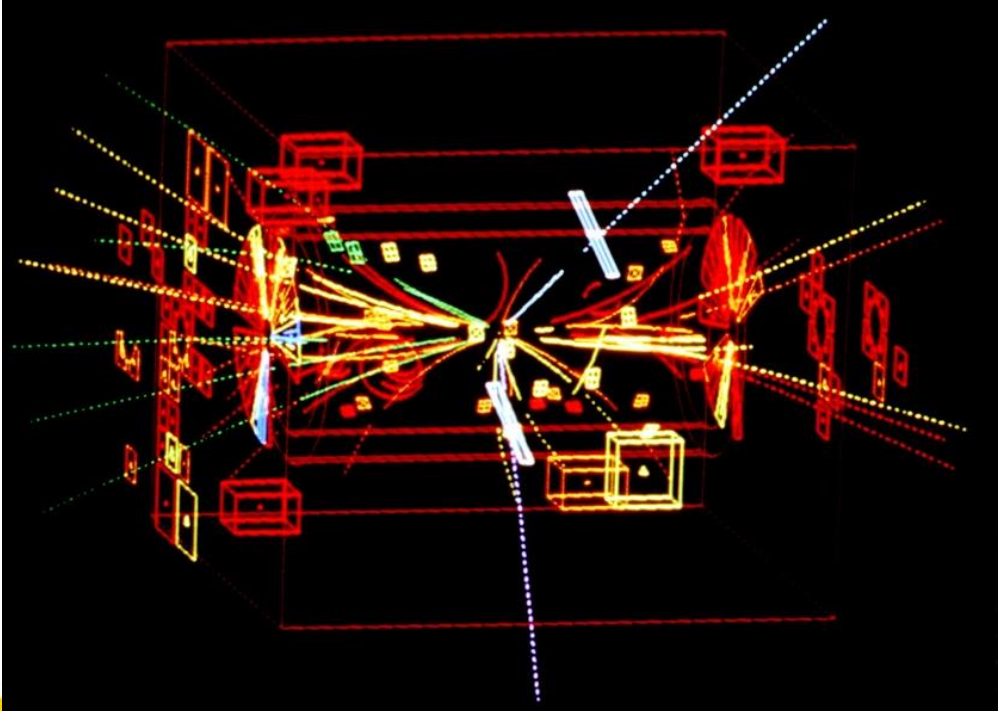
# Fields

Electroweak Interaction

1983

## Discovery of the W, Z bosons at CERN (1983)

(Carlo Rubbia - leader of UA1 collaboration, and proponent of proton-antiproton collider in SpS)  
(Simon van der Meer - inventor of stochastic beam cooling)



# Nobelpris til CERNs Carlo Rubbia og Simon van der Meer i 1984



Artikkelen: When CERN saw the end of the alphabet

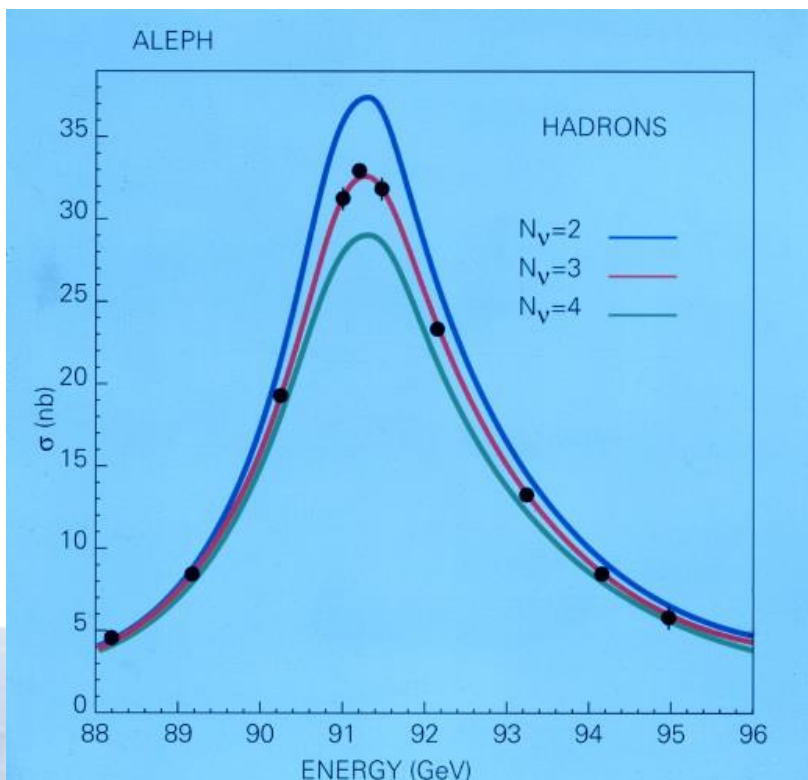
<http://cerncourier.com/cws/article/cern/28849>

# Hvor mange generasjoner av kvarker og leptoner?

LEP eksperimentene måler  $Z^0$  bosonets totale vidde

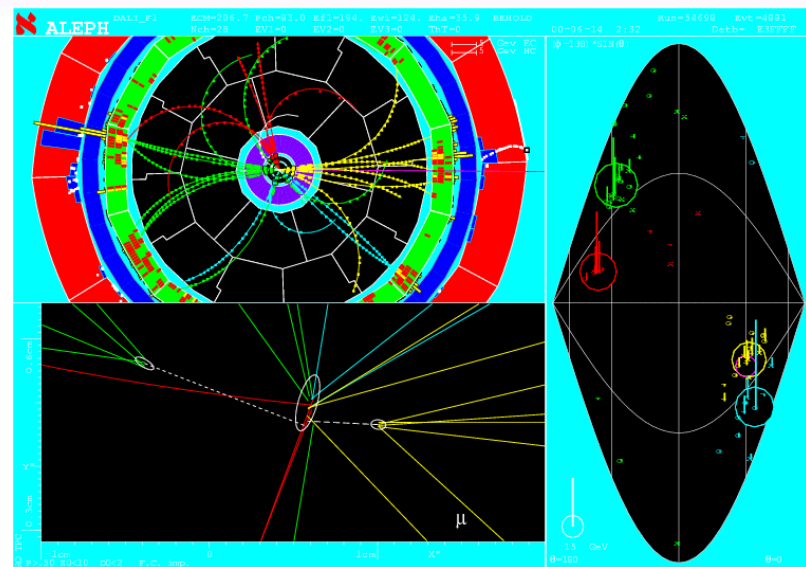
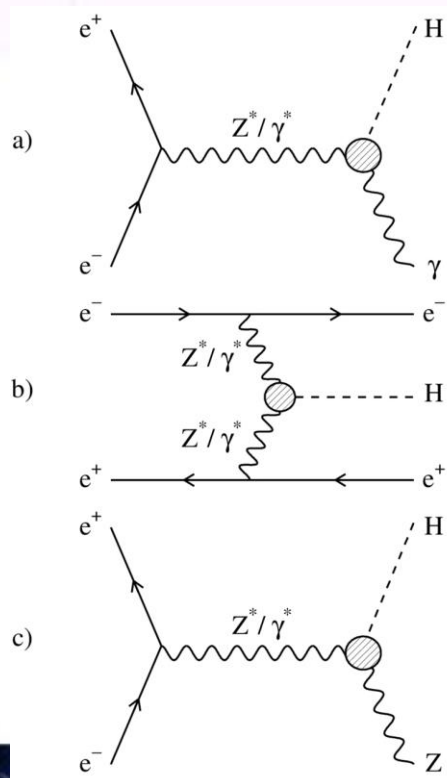
$$\Gamma_Z = N_{uu}\Gamma_{uu} + N_{dd}\Gamma_{dd} + N_{ll}\Gamma_{ll} + N_{vv}\Gamma_{vv}$$

Tester også  
koblingenes  
*universalitet*



# LEP-2 lette også etter Higgspartikkelen

$$M_H > 114,4 \text{ GeV}$$

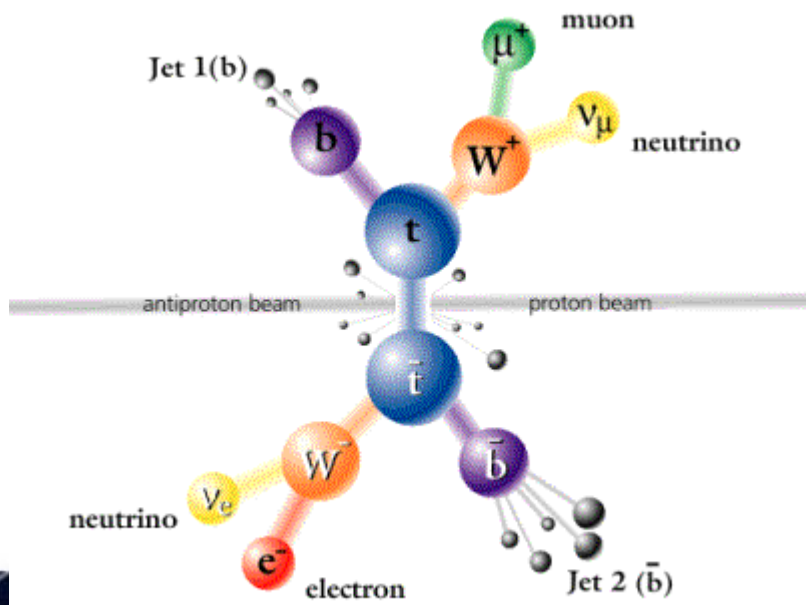


# Oppdagelsen av topp-kvarken ved Fermilab USA i 1995 antiproton-proton kollisjoner med energi 1 TeV

$$m_t = 173,5 \text{ GeV}$$

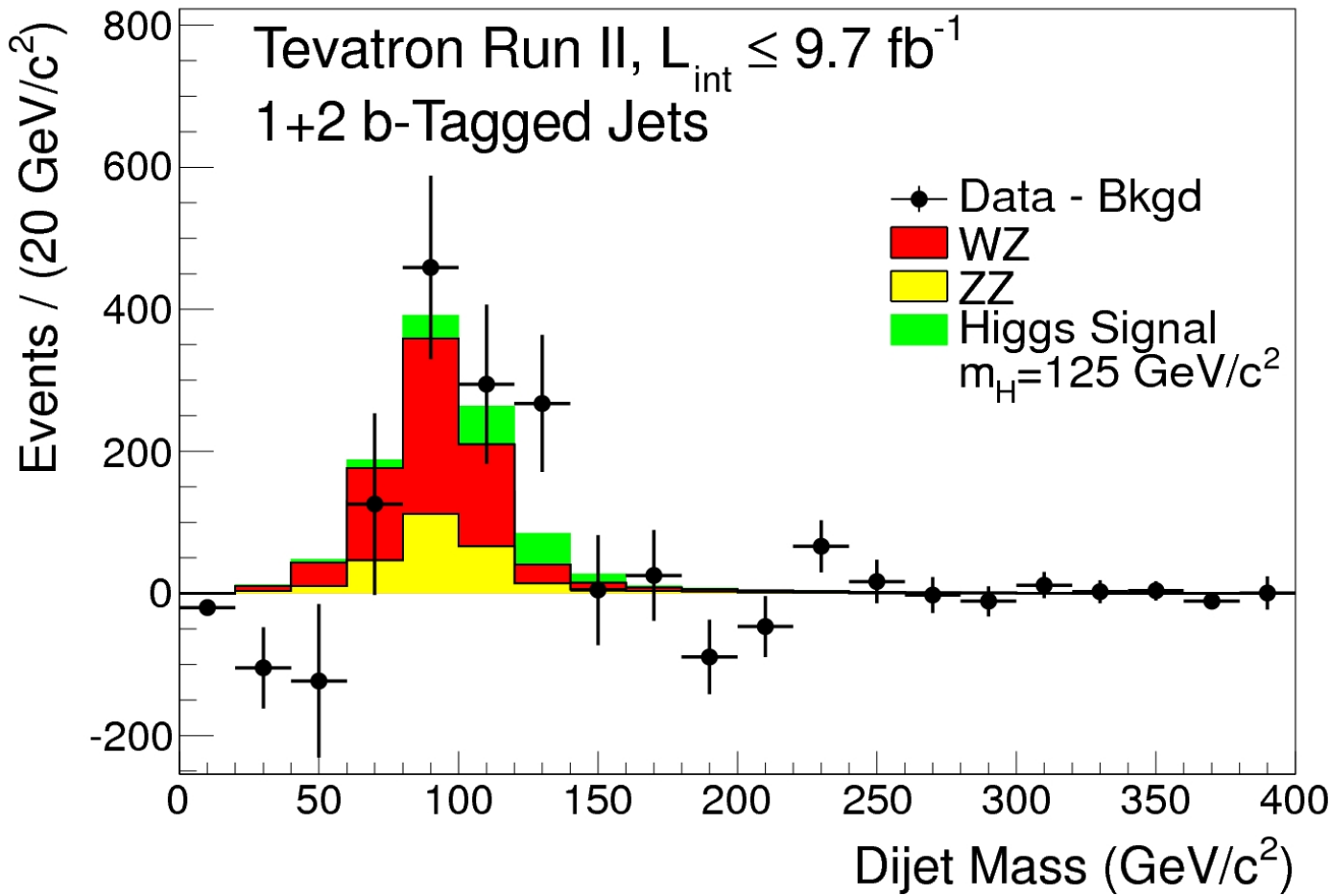
Mye tyngre enn de andre kvarkene

Svært ustabil..henfaller med en gang  
til et W boson og en b-kvark



Bilde fra D0 sine websider

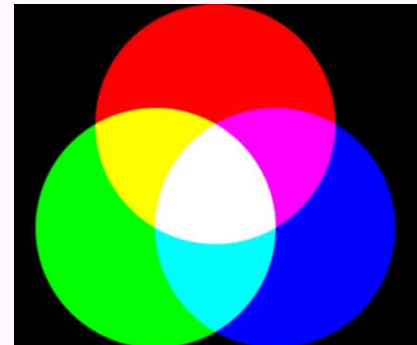
# Fermilab-eksperimentene så også hint om Higgs-partikkelen



## Colour charge

$\Delta^{++}$  three up-quarks with parallel spin, in a symmetric state

(u,u,u) *But: three fermions not allowed to be in identical states (Pauli exclusion principle)*



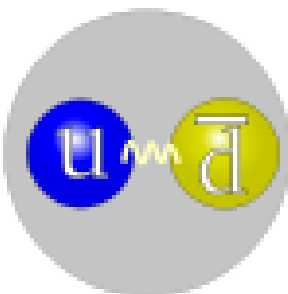
**The three quarks must be different in one quantum number: "colour"**

(Bardeen, Fritzsch, Gell-Mann)

**Only colour-neutral bound states are allowed**

MESONS = Quark-Antiquark

BARYONS = 3-Quark states

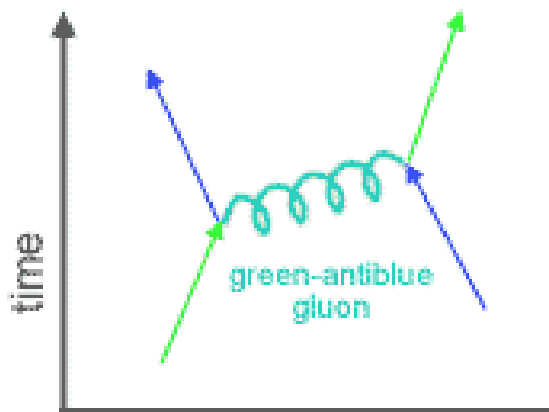


**Colour-force transmitted by (eight) gluons**

**GLUONS CARRY COLOUR CHARGE - SELF-INTERACTION !**

Positive pion

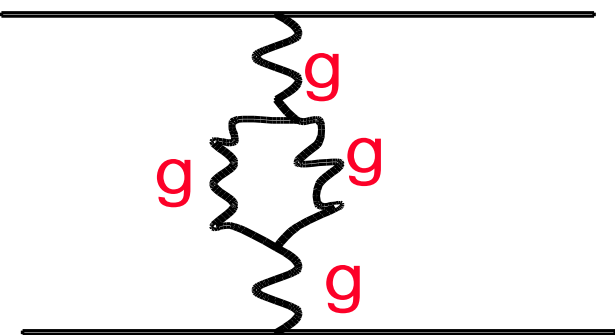
## Gluons



Gluons are massless carriers of the strong force

There are  $3 \times 3 - 1 = 8$  different gluons

Gluons carry colour charge -> self-interaction



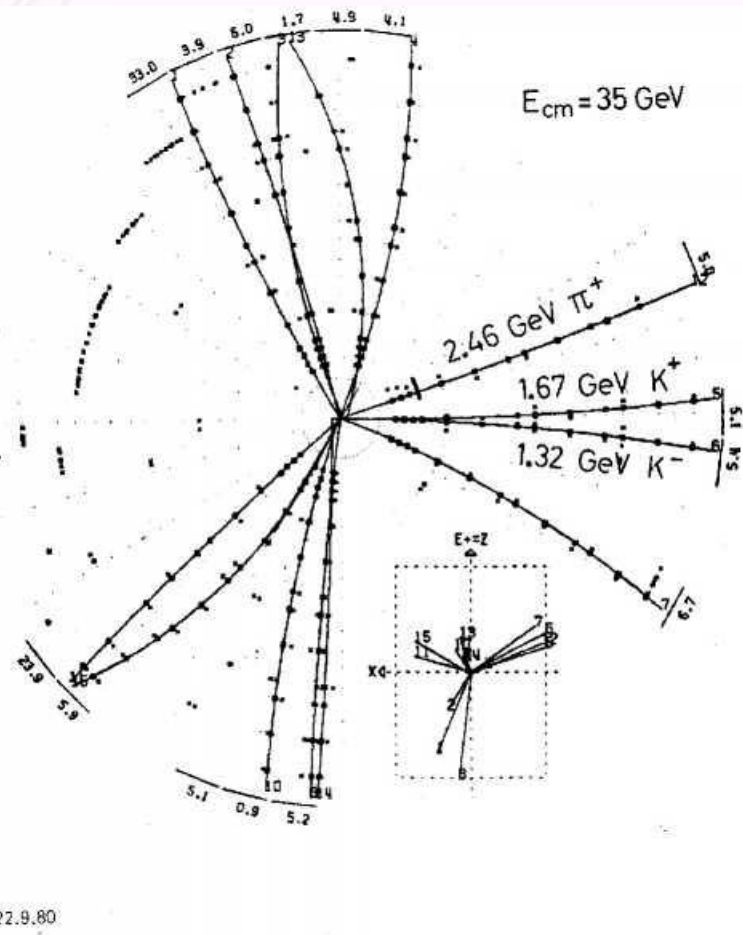
## Self-interaction of gluons

Potential rises linearly with distance (for large r)

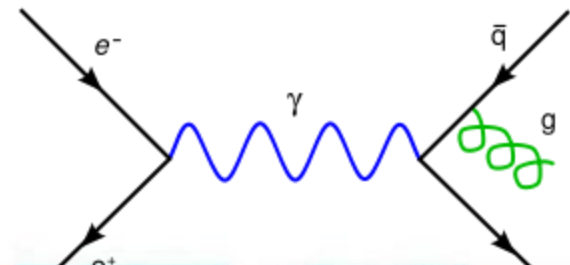
$$V_{QCD} = -\frac{4}{3} \frac{\alpha_s}{r} + kr$$

Small distances: asymptotic freedom

## Discovery of Gluons



Bjørn Wiik (1937-1999)



22.9.80

PETRA Storage Ring

(1979 DESY (Hamburg))

The University of Bergen



Tre av kreftene beskrives godt som kvantefelt-teorier. Dette kalles ‘Standardmodellen’.

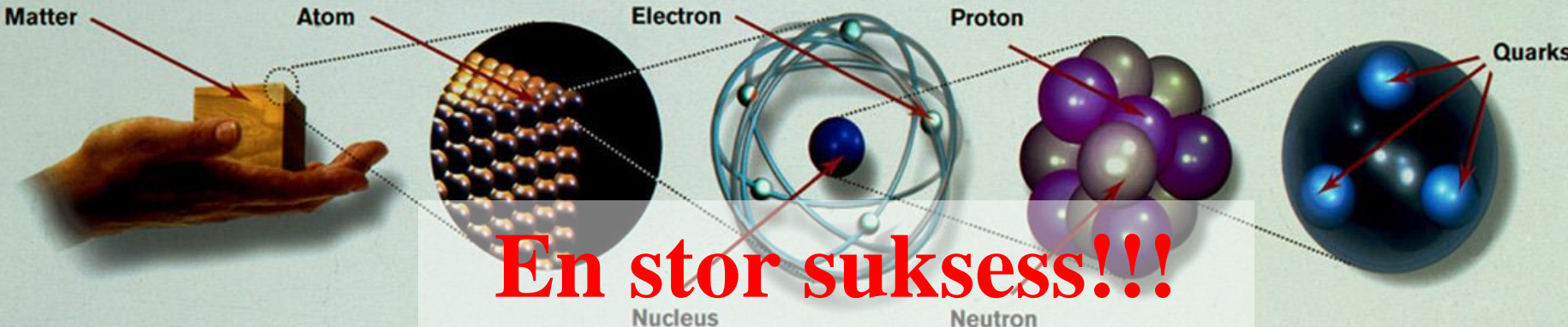
- Forening av svake og elektromagnetiske vekselvirkninger
- Ingen relasjon mellom sterk og elektrosvak ladning.
- Hva med gravitasjon?
- Kvarker,leptoner,fotoner,gluoner....



# Standardmodellen (SM) oppsummert

- Tre *og bare tre* generasjoner kvarker og leptoner.
- Forening av elektromagnetisme og svake kjernekrefter.
- Litt asymmetri mellom materie og antimaterie (CP brudd) på en selvkonsistent måte
- Higgs-mekanisme for å gi partiklene masse
- Ingen jordiske observasjoner bryter med SM, Standardmodellen er en stor suksess!





### Matter particles

All ordinary particles belong to this group

These particles existed just after the Big Bang. Now they are found only in cosmic rays and accelerators

### Force particles

These particles transmit the four fundamental forces of nature although gravitons have so far not been discovered

LEPTONS			
FIRST FAMILY	Electron Responsible for electricity and chemical reactions; it has a charge of -1	Electron neutrino Particle with no electric charge, and possibly no mass; billions fly through your body every second	
SECOND FAMILY	Muon A heavier relative of the electron; it lives for two-millionths of a second	Muon neutrino Created along with muons when some particles decay	
THIRD FAMILY	Tau Heavier still; it is extremely unstable. It was discovered in 1975	Tau neutrino not yet discovered but believed to exist	

QUARKS		
Up	Down	
Has an electric charge of plus two-thirds; protons contain two, neutrons contain one	Has an electric charge of minus one-third; protons contain one, neutrons contain two	
Charm	Strange	
A heavier relative of the up; found in 1974	A heavier relative of the down; found in 1964	
Top	Bottom	
Heavier still	Heavier still; measuring bottom quarks is an important test of electroweak theory	

<b>Gluons</b> Carriers of the strong force between quarks	
Felt by: quarks	

The explosive release of nuclear energy is the result of the **strong force**

<b>Photons</b> Particles that make up light; they carry the electromagnetic force	
Felt by: quarks and charged leptons	
<b>Intermediate vector bosons</b> Carriers of the weak force	
Felt by: quarks and leptons	

Electricity, magnetism and chemistry are all the results of **electro-magnetic force**

Some forms of radio-activity are the result of the **weak force**

All the weight we experience is the result of the **gravitational force**

# Ubesvarte spørsmål

- Mekanismen for å gi partiklene masse er bekreftet, men vi må studere higgspartikkelen.
- S.M. kan ikke forutsi verdier av massene.
- Hvorfor er elektron og protonladningene like?
- Hvorfor ingen antipartikler i universet? (CP-bruddet vi observerer er for lite til å forklare)
- Kan vi få med gravitasjon i en enhetlig felt-teori?
- Hva består den mørk materien i universet av?
- Hvordan kan vi forklare universets ekspansjonshastighet?

